

تهیه نانومولسیون‌های حامل ویتامین A پالمیتات به روش خودبه‌خودی: بررسی تأثیر سورفاکتانت و فاز روغنی بر اندازه قطرات و پایداری

اکرم پژشکی^۱، بابک قنبرزاده^{۲*}، حامد همیشه‌کار^۳، محمد مقدم^۴، عیسی فتح‌الهی^۵

۱- استادیار گروه علوم و صنایع غذایی، دانشکده کشاورزی، دانشگاه تبریز

۲- استاد گروه علوم و صنایع غذایی، دانشکده کشاورزی، دانشگاه تبریز

*نویسنده مسئول (ghanbarzadeh@tabrizu.ac.ir)

۳- دانشیار مرکز تحقیقات دارویی، دانشگاه علوم پزشکی تبریز

۴- استاد گروه زراعت و اصلاح نباتات، دانشکده کشاورزی، دانشگاه تبریز

۵- دانش آموخته کارشناسی ارشد گروه علوم و صنایع غذایی، دانشکده کشاورزی، دانشگاه تبریز

تاریخ دریافت: ۹۳/۰۳/۲۱

تاریخ پذیرش: ۹۴/۰۸/۱۷

چکیده

تولید خودبه‌خودی امولسیون یکی از روش‌های کمتری در تولید انواع نانومولسیون است و در نتیجه تیتراسیون فاز روغنی حاوی سورفاکتانت هیدروفیل در فاز آبی رخ می-دهد. از این سیستم در درون پوشانی ترکیبات آب‌گریز غذا- دارو مانند انواع ویتامین‌های محلول در چربی می‌توان استفاده کرد. در این تحقیق نانومولسیون‌های حاوی ویتامین A به روش کمتری تشکیل خودبه‌خودی امولسیون با بهکارگیری سورفاکتانت‌های غیریونی مختلف (توبین ۲۰، ۲۱، ۲۰، ۴۰، ۸۰ و ۸۵ و نسبت ۱:۱ توبین ۸۵: توبین ۲۰)، نسبت‌های مختلف سورفاکتانت و فاز روغنی در سیستم (SOR) و غلظت‌های متفاوت ویتامین A در سیستم (۰/۰۳ و ۰/۰۶ و ۰/۰۹ درصد)، انواع مختلف فاز روغنی حامل (روغن سویا، نارگیل، ذرت، اکتیلت و میگلیول ۸۱۲) تولید گردیدند تا بتوان به فرمولاسیون بهینه از این نانومولسیون دست پیدا کرد. آزمون پایداری اندازه ذرات در دمای محیط نیز برای تعیین خواص فیزیکوشیمیایی نانومولسیون‌ها انجام شد. فرمولاسیون ۱۵ درصد SOR و ۱۵۰ درصد SOR با استفاده از توبین ۸۰ و محلول ۳ درصد ویتامین A در میگلیول ۸۱۲ دارای کمترین اندازه ذرات (۷۶ نانومتر) با توزیع اندازه ذرات باریک و تکمد بود که در طی مدت زمان نگهداری (۳ ماه) در دمای ۲۵ درجه سانتی‌گراد از نظر اندازه ذرات پایدار بود.

فرایند و نگهداری مواد غذایی و همچنین در مسیر دستگاه گوارشی، افزایش حلالت در محیط‌های آبی، دسترسی زیستی بالاتر (به دلیل اندازه کوچک و نسبت سطح به حجم بالای قطرات) و جلوگیری از ایجاد بد-طعمی و بدرنگی در مواد غذایی را داشته باشد. به علت حلالت پایین ویتامین A در آب، عموماً توانایی و قابلیت محبوس شدن آن در ساختارهای نانو حامل‌های لیپیدی بالا است که البته این امر خود به پارامترهای مختلف از قبیل نوع سیستم درون‌پوشانی و

مقدمه

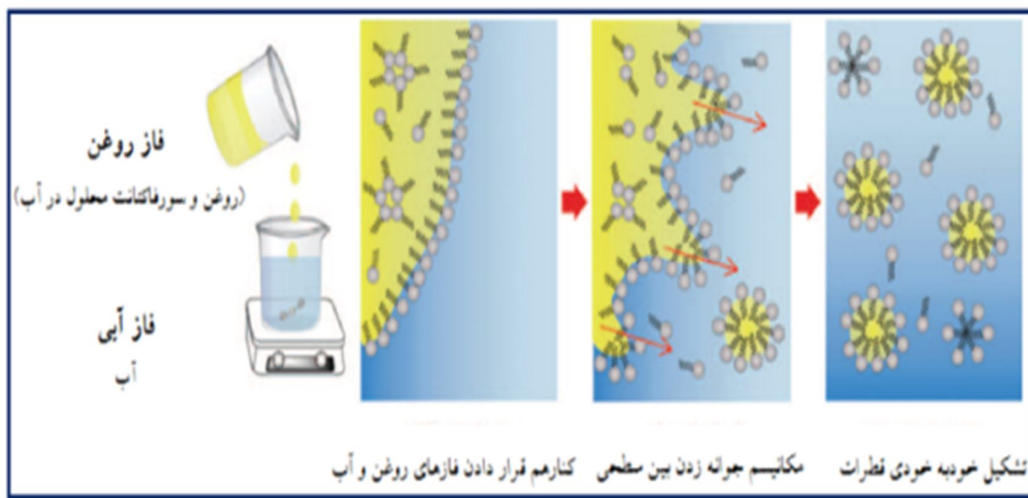
استفاده از نانو حامل‌ها برای ترکیبات غذا-داروی آب-گریز (نوتریسیتیکال^۱) مانند ویتامین‌ها می‌تواند مزایای متعددی از جمله کنترل رهایش در ماده غذایی و بدن در یک مکان و زمان معین، محافظت در برابر عوامل تخریب کننده محیطی (مانند اکسیداسیون، حرارت، نور، محیط اسیدی، فلزات سنگین و آنزیمهای) در طی

¹ Nutraceutical

روش‌های کم انرژی تولید نانومولسیون است که در نتیجه تیتراسیون یک فاز آلی حاوی روغن، سورفاکتانت هیدروفیل و حلal قابل امتزاج با آب در فاز آبی رخ می‌دهد. ویژگی‌های خودبه‌خودی این روش نتیجه حالت‌های غیرتعادلی اولیه دو فاز مختلف است که بدون همزدن در تماس با هم قرار می‌گیرند (Saberi *et al.*, 2013; Komaiko & McClements, 2014). تشکیل نانومولسیون توسط امولسیفیکاسیون خودبه‌خودی به دو مکانیزم آشفتگی سطحی در اثر مهاجرت سورفاکتانت به فازی که در آن بیشتر حل می‌شود و انتشار و رشته‌ای شدن در اثر کشاندن مولکول‌های روغن چسبیده به سورفاکتانت به داخل فاز آبی نسبت داده می‌شود (Bouchemal *et al.*, 2004; Silva *et al.*, 2011; Anton & Vanamme, 2009).

در شکل ۱ مکانیسم تولید خودبه‌خودی امولسیون به صورت شماتیک نشان داده شده است. زمانی که دو فاز روغن و آب در مجاورت هم قرار می‌گیرند (تیتر-شدن فاز روغن حاوی امولسیفایر داخل فاز آبی) امولسیفایر موجود در فاز روغنی به فاز آبی که حلالیتش در آن بیشتر است، مهاجرت می‌کند و در نتیجه آشفتگی بین سطحی ایجاد شده و به هنگام ورود امولسیفایر به داخل فاز آبی، مقداری روغن نیز به همراه آن وارد فاز آبی می‌شود. این روغن متصل به سورفاکتانت در داخل آب به صورت قطرات ریز امولسیون، رشته‌ای می‌شود و سبب تولید خودبه‌خودی قطرات ریز می‌شود (Rao & McClements, 2012; Horn & Rieger, 2001).

فرمولاسیون آن بستگی دارد (De Vost *et al.*, 2010) یکی از سیستم‌های نانوحامل مهم، نانومولسیون است که سیستم‌های شفاف با اندازه قطرات در محدوده ۲۰–۱۰۰ نانومتر هستند و با توجه به دارابودن قطره‌های کوچک‌تر از اندازه طول موج نور، نسبت به امولسیون‌های متداول، شفاف‌تر بوده و نسبت به پدیده‌های تفکیک گرانشی و تجمع یافتن قطرات مقاومت بیشتری دارند (Fathi *et al.*, 2012). جهت تشکیل و افزایش سطح بین فاز روغن و فاز آبی نیاز به ورود انرژی به سیستم نانومولسیون بوده و در نتیجه این سیستم‌ها از لحاظ ترمودینامیکی ناپایدار هستند و تمایل دارند در طول زمان، در اثر پدیده‌های فیزیکو-شیمیایی مختلف، به فازهای تشکیل دهنده خود تفکیک شوند (Fathi *et al.*, 2012; Rao & McClements, 2012; Jafari *et al.*, 2008 انرژی می‌تواند توسط ابزارهای مکانیکی (روش پر-انرژی) یا انرژی پتانسیل اجزای تشکیل دهنده آن (روش کم انرژی) تأمین شود. روش‌های کم انرژی به طور کل وابسته به پدیده‌های بین سطحی در مرز بین فازهای آب-روغن هستند و اغلب در تولید ذرات ریز از روش‌های پرانرژی کارآمدتر هستند (Rao & McClements, 2012; Piorkowski & McClements, 2013; Sagalowicz & Leser, 2010). تنها محدودیت این روش‌ها نوع روغن و نوع و غلظت امولسیفایر مورد استفاده است. به طوری که باید از غلظت‌های نسبتاً بالایی از امولسیفایرهای سنتزی ریزمولکول استفاده شود که این امر استفاده از این روش‌ها را در بسیاری از مصارف غذایی محدود می‌کند (Rao & McClements, 2012; Sagalowicz & Leser, 2010). تولید خودبه‌خودی امولسیون یکی از



شکل ۱- طرح شماتیک مکانیسم تولید خودبه‌خودی امولسیون (صابری و همکاران، ۲۰۱۳).

مواد مورد استفاده در این پژوهش شامل آب دیونیزه، ویتامین A پالمیتات (سیگما، آلمان)، میگلیول ۸۱۲ (ایران، شرکت داروسازی زهراوی)، اکتیل اکتانیت^۱، روغن ذرت، روغن نارگیل و روغن سویا (سیگما، آلمان)، بافر فسفات، سورفاکtant‌های غیریونی پلی-سوربات (تویین ۲۰، ۲۱، ۴۰، ۸۰ و ۸۵) (سیگما، آلمان) بود.

روش‌ها

تهیه نانومولسیون به روش خودبه‌خودی (جوانهزنی) سیستم نانومولسیون حاوی ویتامین A پالمیتات با استفاده از روش کم انرژی تشکیل خودبه‌خودی امولسیون روغن در آب با اضافه کردن قطره قطره فاز روغنی (محلول ویتامین A پالمیتات در روغن حامل به همراه سورفاکtant هیدروفیل غیریونی) بر روی آب دیونیزه، تولید گردید (Anton & Vandamme, 2009). در حین تشکیل، امولسیون به طور مداوم توسط همزن مغناطیسی با سرعت بهینه ۵۰۰ دور بر دقیقه در دمای آزمایشگاه ۲۵ درجه سانتی‌گراد) هم‌زده شد. پس از اتمام ریختن فاز روغنی، به سیستم به مدت ۴۰ دقیقه فرصت داده شد در سرعت ۵۰۰ دور بر دقیقه همزده شود تا به تعادل برسد. با توجه به تأثیر دما در اندازه ذرات نانومولسیون، از همزن

در سال‌های اخیر تحقیقات زیادی روی استفاده از نانومولسیون‌ها در مصارف غذایی شده است و در این تحقیقات عوامل مؤثر بر اندازه ذرات و پایداری مورد بررسی قرار گرفته است. از این جمله تحقیقات می-توان به درون‌پوشانی رتینیل پالمیتات در روغن حامل Montanov 68 EC (استئاریل الکل و استئاریل گلوکوزید) و Carlotti (استئاریل الکل و استئاریل گلوکوزید) (همکاران، ۲۰۰۵)، تولید نانومولسیون حاوی ویتامین E توسط روش خودبه‌خودی و سورفاکtant‌های مختلف (Saberi و همکاران، ۲۰۱۳؛ نیکنیا و همکاران، ۱۳۹۲)، درون‌پوشانی رزوراتول در امولسیون بر پایه روغن بادامزینی و انواع سورفاکtant‌های طبیعی و سنتزی (لستین سویا، استرهای قندی و گلیسریل منوالنات). (Pardo & McClements, 2014) و تولید نانومولسیون با به‌کارگیری سیستم مدل (هگزادکان فاز روغنی و ۳۰ سورفاکtant غیریونی) (Brig Komaiko & McClements, 2014) اشاره کرد. هدف این کار پژوهشی، بررسی عوامل مؤثر در تولید نانومولسیون حاوی ویتامین A پالمیتات با اندازه و پایداری بهینه، به روش تشکیل خودبه‌خودی به منظور استفاده در نوشیدنی‌های غذایی است.

مواد و روش‌ها

^۱ Octyl octanoate

D(10%) : قطری که حجم ذرات کوچکتر از آن، ۱۰ درصد حجم کل ذرات موجود در سیستم را تشکیل می‌دهد.

بررسی تأثیر غلظت سورفاکtant بر اندازه و توزیع قطرات تأثیر غلظت سورفاکtant در تولید قطرات نانو-امولسیون به دو روش بررسی شد (Saberi *et al.*, 2013):

*در روش اول نسبت سورفاکtant به امولسیون (SER) و مقدار فاز آبی تغییر داده شد. مقدار روغن (میگلیول 812^+ ویتامین A پالمیتان) ثابت نگهداشته شد.

$$\text{معادله (۳)} \quad SER \% = \frac{M_s}{M_s + M_o + M_w} \times 100$$

M_s : مقدار سورفاکtant مورد استفاده
 M_w : مقدار آب بافر مورد استفاده
 M_o : مقدار فازروغنی مورد استفاده.

در نانوامولسیون‌های تولید شده با استفاده از تغییر 8^+ و میگلیول 812 حاوی ۳ درصد ویتامین A پالمیتان به عنوان روغن حامل، ۶ سطح متفاوت SER (۷/۵، ۱۰، ۱۲/۵، ۱۵، ۱۷/۵ و ۲۰ درصد) بررسی شد. *در روش دوم نسبت سورفاکtant به فازروغنی (SOR) تغییر داده شد در حالی که مقدار کل فازآبی ثابت نگهداشته شد.

$$\text{معادله (۴)} \quad SOR \% = \frac{M_s}{M_o} \times 100$$

در نانوامولسیون‌های ذکر شده، ۶ سطح متفاوت SOR (۲۵، ۲۵، ۴۲، ۶۶، ۱۵۰، ۱۸۰ و ۲۳۳ درصد) بررسی شد.

تأثیر نوع سورفاکtant و غلظت ویتامین A پالمیتان بر اندازه و توزیع قطرات جهت بررسی تأثیر نوع سورفاکtant بر اندازه قطره‌ها امولسیون بر پایه میگلیول 812 به عنوان فاز روغنی و

مغناطیسی مجهز به سنسور تنظیم دما (Hiedolph آلمان) استفاده گردید. با توجه به اینکه از همزن مغناطیسی مجهز به سنسور تنظیم و ثابت نگهداشتن دما در طول انجام آزمایش و تولید فرمولاسیون‌ها استفاده شد، بنابراین پایش دما در حین تولید رخ نداد و در طول ۸ ساعت تولید فرمولاسیون‌ها، دمای محلول ثابت نگهداشته شد.

تعیین اندازه ذرات

میانگین اندازه ذرات و شاخص اسپن نانوامولسیون‌های تولید شده از روی توزیع اندازه ذرات در دستگاه اندازه‌گیری اندازه ذرات SLS^1 (SHIMADZO SALD 2101 ساخت ژاپن) تعیین گردید. اندازه‌گیری بر اساس پراکنش نور لیزر عمل می‌کند. اندازه‌گیری اندازه ذرات پس از گذشت ۲۴ ساعت از تولید و نگهداری نمونه در دمای محیط (۲۵ درجه سانتی‌گراد) انجام شد. متوسط اندازه ذرات بر اساس میانگین قطر حجمی تعیین شد (Saberi *et al.*, 2013) میانگین قطر حجمی (میانگین حجم معادل) یا De :Broukere mean

$$\overline{D}_{[\xi, \eta]} = \frac{\sum n_i d_i^{\xi}}{\sum n_i d_i^{\eta}} \quad \text{معادله (۱)}$$

n_i : تعداد ذرات

d_i : قطر میانگین ذرات

توزیع اندازه ذرات نیز با استفاده از معادله ۲ محاسبه شد:

$$\text{Span} = \frac{D(90\%) - D(10\%)}{D(50\%)} \quad \text{معادله (۲)}$$

D(90%): قطری که حجم ذرات کوچک‌تر از آن، ۹۰ درصد حجم کل ذرات موجود در سیستم را تشکیل می‌دهد.

D(50%): قطری که حجم ذرات کوچک‌تر از آن، ۵۰ درصد حجم کل ذرات موجود در سیستم را تشکیل می‌دهد (قطر میانه).

² Surfactant Emulsion Ratio
³ Surfactant Oil Ratio

¹ Static Light Scatering

نتایج و بحث

بررسی تأثیر غلظت سورفاکtant بر اندازه قطرات اثر غلظت سورفاکtant بر اندازه و توزیع اندازه قطرات نانومولسیون با تهیه یکسری از امولسیون‌ها با ترکیب ثابت روغن (یک گرم حاوی ۳ درصد ویتامین A پالمیتات + ۹۷ درصد میگلیول) و با استفاده از سورفاکtant غیریونی تبیین ۸۰، اما با نسبت‌های متفاوت میزان سورفاکtant به امولسیون (SER) و هم‌چنین نسبت‌های متفاوت میزان سورفاکtant به فاز روغن (SOR) بررسی شد (جدول ۱). شکل ۱-الف در ارتباط با اندازه قطرات و منحنی‌های شکل ۱-ب جهت نشان دادن پراکنش و توزیع اندازه قطرات است که هر چقدر منحنی توزیع باریکتر و هم‌چنین تکمد باشد، یکنواختی در اندازه قطرات سیستم بالاتر می‌باشد. در غلظت‌های پابین سورفاکtant (۰ و ۷/۵ درصد SER و ۶۶ و ۴۲ درصد SOR) اندازه قطره‌های تولید شده از ۵۰۰ نانومتر بالاتر و در واقع مانکروامولسیون تولید شد و توزیع اندازه قطرات در غلظت ۷/۵ درصد SER وسیع بود (شکل ۲-الف). با افزایش غلظت سورفاکtant در سیستم یعنی SER های ۱۵/۵، ۱۵، ۱۵۰، ۱۸۰ درصد) اندازه قطرات زیر ۱۰۰ نانومتر به دست آمد که تقریباً اندازه مشابهی داشتند، با این تفاوت که توزیع اندازه قطرات در SER=۱۷/۵٪، دومد^۱ بود. در حالی که توزیع اندازه قطرات در SER=۱۵٪ تکمد^۲ بود (شکل ۲-ب). مقایسه میانگین‌ها به روش دانکن در سطح ۵ درصد، اثر غلظت‌های مختلف سورفاکtant بر اندازه قطرات را معنی‌دار نشان داد.

مقادیر ۱۵ درصد SOR و ۱۵۰ درصد SOR و غلظت ۳ درصد ویتامین A پالمیتات در فازروغنی (معادل غلظت ۰/۰۳ درصد ویتامین A پالمیتات در کل سیستم نانومولسیون)، از ۵ نوع سورفاکtant سنتزی (تبیین ۲۰، ۲۱، ۴۰، ۸۰، ۸۵ و نسبت ۱:۱ تبیین ۸۵:۲۰) استفاده شد. هم‌چنین نقش ویتامین A پالمیتات در اندازه و پایداری قطره‌های فرمولاسیون بهینه، در سه سطح ۰/۰۳ و ۰/۰۶ و ۰/۰۹ درصد ویتامین A پالمیتات بررسی شد.

تأثیر نوع فاز روغنی حامل بر اندازه قطرات
در فرمولاسیون‌های تولید شده با بهکارگیری تبیین ۸۰ به عنوان سورفاکtant و مقادیر ۱۵ درصد SER و ۱۵۰ درصد SOR و غلظت ۰/۰۳ درصد ویتامین A پالمیتات، تأثیر نوع فازروغنی حامل (میگلیول ۸۱۲، اکتیل اکتانیت، روغن ذرت، روغن نارگیل و روغن سویا) روی اندازه قطرات نانومولسیون بررسی شد.

بررسی پایداری نانومولسیون بهینه
پایداری بلند مدت نانومولسیون بهینه تولید شده (با استفاده از تبیین ۸۰ به عنوان سورفاکtant و مقادیر ۱۵ درصد SER و ۱۵۰ درصد SOR میگلیول ۸۱۲ به عنوان فازروغنی و غلظت ۰/۰۳ درصد ویتامین A پالمیتات) با اندازه‌گیری تغییرات در قطره‌های آن و همچنین ظاهر در طی نگهداری در دمای آزمایشگاه به مدت ۳ ماه (روزهای ۱، ۷، ۱۵، ۳۰، ۴۵، ۶۰ و ۹۰ Yang et al., 2012). با اندازه‌گیری میانگین اندازه ذرات پایداری آنها بررسی شد (Gonnet et al., 2010).

تحلیل آماری

همه آزمون‌ها در سه تکرار در قالب طرح کاملاً تصادفی انجام شدند. تحلیل و ارزیابی (ANOVA) با استفاده از مدل خطی (G.L.M) نرم‌افزار آماری SPSS 11.5 در سطح احتمال ۵ درصد ($P < 0.05$) و آزمون چند دامنه‌ای دانکن (در سطح احتمال ۵ درصد) برای تأیید وجود اختلاف بین میانگین‌ها انجام گرفت.

¹ Bimodal

² Monomodal

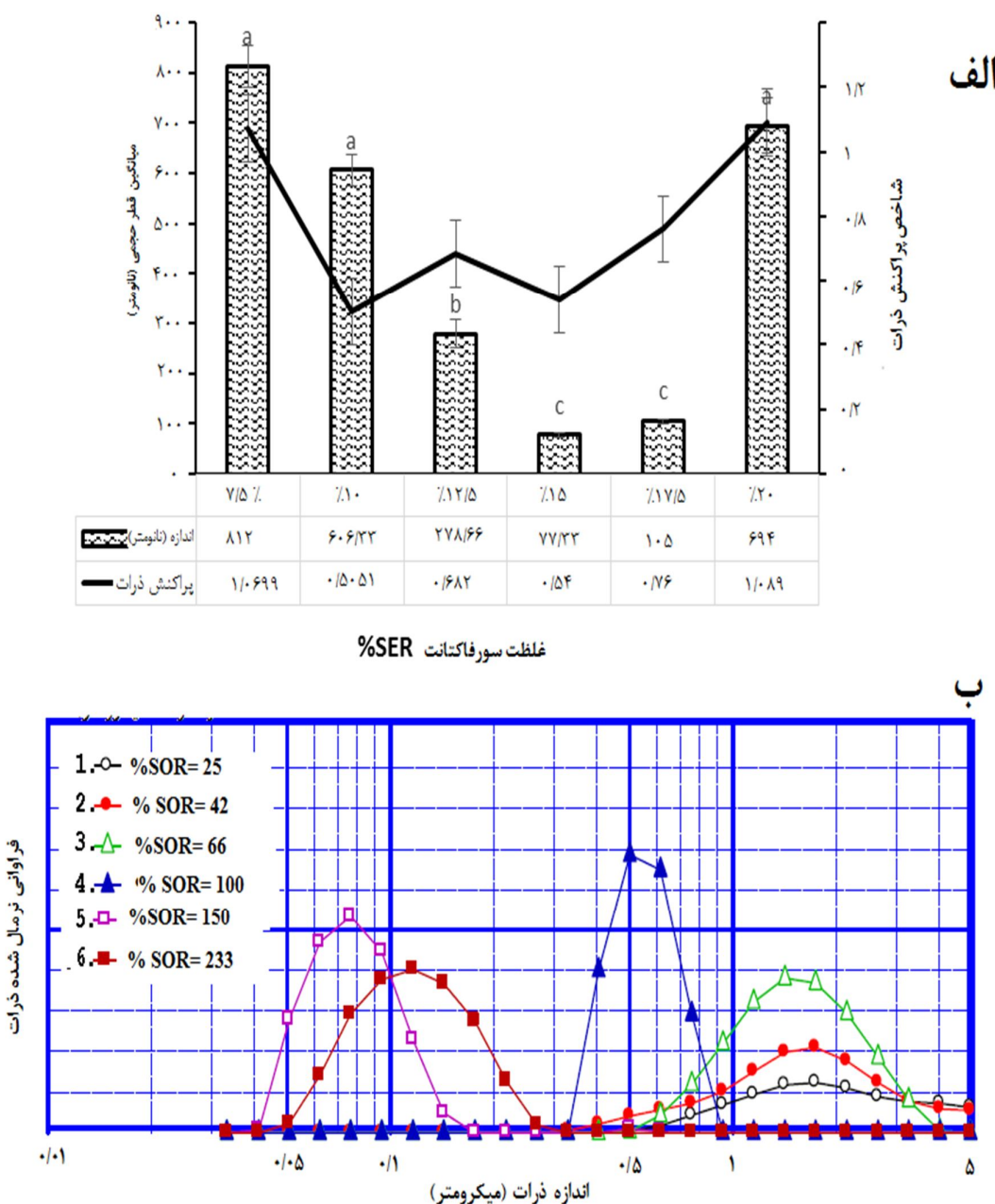
جدول ۱- مقدار اجزاء مورد استفاده در تولید فرمولاسیون‌های مختلف نانومولسیون با تغییر غلظت سورفاکtant

فرمولاسیون (درصد)	SER یا SOR (درصد)	گرم سورفاکtant (توبین ۸۰)	گرم روغن حامل (میگلیول ۸۱۲)	گرم آب	میانگین اندازه پراکنش (span) قطرات
SER=۷/۵	SOR=۷۵	۰/۷۵	۱ (ثابت)	۸/۲۵	۱/۰۶۹۹
SER=۱۰	SOR=۱۰۰	۱	۱ (ثابت)	۸	۰/۵۰۵۱
SER=۱۲/۵	SOR=۱۲۵	۱/۲۵	۱ (ثابت)	۷/۷۵	۰/۶۸۲
SER=۱۵	SOR=۱۵۰	۱/۵	۱ (ثابت)	۷/۵	۰/۵۴
SER=۱۷/۵	SOR=۱۷۵	۱/۷۵	۱ (ثابت)	۷/۲۵	۰/۷۶
SER=۲۰	SOR=۲۰۰	۲	۱ (ثابت)	۷	۱/۰۸۹
SOR=۲۵	SER=۵	۰/۵	۲ (ثابت)	۷/۵	۱/۲۷۸۰
SOR=۴۲	SER=۷/۵	۰/۷۵	۱/۷۵	۷/۵	۱/۳۴۲
SOR=۶۶	SER=۱۰	۱	۱/۵	۷/۵	۱/۱۳۵۵
SOR=۱۰۰	SER=۱۲/۵	۱/۲۵	۱/۲۵	۷/۵	۰/۸۹۲۲
SOR=۱۵۰	SER=۱۵	۱/۵	۱ (ثابت)	۷/۵	۰/۵۴
SOR=۲۳۳	SER=۱۷/۵	۱/۷۵	۰/۷۵	۷/۵	۰/۴۰۸۶

درصد کوچکترین اندازه قطرات حاصل می‌شود. با افزایش غلظت، سورفاکtantها می‌توانند چندین ساختار از جمله ساختار دولایه اطراف قطرات تشکیل دهند و قطرات را پوشانند. به این ترتیب فاصله قطرات از هم افزایش می‌یابد و از اثر نیروی جاذبه واندروالس بین قطرات کاسته می‌شود. همچنین برای نزدیکشدن قطرات به یکدیگر، بایستی این ساختارهای سورفاکtantی ساختارهای کریستال مایع هستند که با این مکانیسم سبب پایدارشدن امولسیون می‌شوند (مساح، ۱۳۹۲). اگر غلظت امولسیفایر در سیستم برای پوشاندن کامل لایه بین‌سطحی روغن - آب کم باشد، درهم‌آمیختن و تجمع قطرات رخ می‌دهد.

مطابق گزارش سایر محققین نیز، در تهیه نانو-امولسیون ترکیب اجزاء و نسبت سورفاکtant به امولسیون (SER) و به فاز روغنی (SOR)، بر توزیع اندازه ذرات تأثیرگذار است. درصورتی که سرعت اضافه کردن و مخلوطشدن فازها و سرعت همزدن تأثیر جزئی بر توزیع اندازه ذرات دارد (Komaiko & Gowthamarajan, 2014) (۲۰۱۴) در بهینه‌سازی تولید نانومولسیون حاوی عصاره رنگی زردچوبه، بیان کردند که درصد روغن، سورفاکtant و هم‌سورفاکtant^۱ در تشکیل اندازه ذرات در مقیاس نانومتری تأثیرگذار است. Saberi و همکاران (۲۰۱۳) دلیل کاهش اندازه قطرات با افزایش همکاران (۲۰۱۴) در بهینه‌سازی تولید نانومولسیون حاوی عصاره رنگی زردچوبه، بیان کردند که درصد روغن، سورفاکtant و هم‌سورفاکtant^۱ در تشکیل اندازه ذرات در مقیاس نانومتری تأثیرگذار است. Saberi و همکاران (۲۰۱۳) دلیل کاهش اندازه قطرات با افزایش غلظت سورفاکtant را در افزایش جذب مولکول‌های سورفاکtant به سطح روغن/آب و در نتیجه کاهش بیشتر کشش‌سطحی بیان نمودند. همچنین افزایش غلظت سورفاکtant موجب می‌شود تا تعداد مولکول‌های بیشتری از سورفاکtant از فازروغنی به فازآبی پخش شوند و تولید قطرات ریز امولسیون آسان تر گردد. Wakerly و همکاران (۱۹۸۶) نیز در پژوهش بر روی سیستم نانومولسیون میگلیول-توبین ۸۰ گزارش کردند با افزایش غلظت سورفاکtant، اندازه قطرات کاهش می‌یابد به طوری که در SOR برابر با ۵۵

^۱ Cosurfactant



شکل ۲- (الف) تأثیر غلظت سورفاکtant به امولسیون (SER) بر اندازه و (ب) توزیع اندازه قطرات در نانومولسیون‌های تهیه شده با استفاده از فاز رونگی میگلیول ۸۱۲ حاوی ۳ درصد ویتامین A پالمیتان و سورفاکtant غیریونی تویین ۸۰ در دمای ۲۵ درجه سانتی‌گراد

غلظت‌های بالای سورفاکtant را می‌توان به دو عامل زیر نسبت داد:

- در غلظت‌های بالاتر سورفاکtant، در لایه بین-سطحی رونگن-آب، احتمالاً ساختارهای کریستال مایع ویسکوز تشکیل می‌شوند که باعث کندشدن مهاجرت سورفاکtant به فاز آبی می‌شوند. به این ترتیب تولید

با افزایش غلظت سورفاکtant به ۲۰ درصد SER و (۲۳۳ درصد SOR)، اندازه قطرات بر خلاف انتظار افزایش یافت و قطرات توزیع وسیع و غیریکنواخت پیدا کردند (شکل ۲)، در تحقیقات پیشین نیز همین نتیجه گزارش شده است (نیکنیا و همکاران، ۱۳۹۲؛ Yang *et al.*, 2012).

تکمد برای تمام نمونه‌ها بدست آمد و تغییر معنی-داری در سطح ۵ درصد نشان داده نشد (شکل ۳). همچنین سیستم نانومولسیونی با استفاده از ۶۰ میلی‌گرم ویتامین A پالمیتات (IU/ml) (۱۰۰۰۰) معادل ۶ درصد (وزنی/حجمی) تولید گردید. نتایج مربوط به اندازه‌گیری ذرات و پایداری آن تا ۳۰ روز، نشان‌دهنده سیستم نانومولسیون پایدار با اندازه قطرات حدود ۷۱ نانومتر و توزیع یکنواخت بود. با توجه به اینکه از این سیستم نانومولسیون در جهت غنی‌سازی شیر با ویتامین A پالمیتات استفاده می-شود و این سطح غلظت از ویتامین با در نظر گرفتن نیاز روزانه به این ویتامین، بهینه انتخاب شد.

بنابر گزارش محققین پیشین، ویتامین A پالمیتات در حضور توبین ۸۰ می‌تواند به عنوان کمک‌سورفاکتانت عمل کند. به عبارت دیگر با قرارگیری مابین مولکول‌های سورفاکتانت، آنها انحنای مطلوب خود را خواهند داشت. این توانایی ویتامین A پالمیتات به حضور گروه‌های عاملی در ساختار آن نسبت داده می‌شود. ویتامین A پالمیتات حاوی گروه کربونیل آب‌دوست بوده و توانایی تشکیل پیوند هیدروژنی با مولکول‌های آب را دارد، از سوی دیگر زنجیر طویل کربنی مربوط به اسید پالمیتیک در ساختار آن گروه آب‌گریز بوده و به انحلال ویتامین در فاز روغن کمک می‌کند. بنابراین ویتامین A پالمیتات دارای ساختار آمفی‌فیلیک است. به این ترتیب احتمالاً ویتامین A پالمیتات در کنار توبین ۸۰ رفتار سیتریزیستی از خود نشان می‌دهد و هر دو به فرایند تولید نانومولسیون کمک می‌کنند (Lee & MacCliments, 2010). ولی چون با تغییر غلظت ویتامین در انواع فرمولاسیون‌های امولسیون، تفاوت معنی‌داری در اندازه قطرات مشاهده نشد، بنابراین رفتار سیتریزیستی از این ویتامین با سورفاکتانت در کاهش اندازه ذرات مشاهده نشد و بنابراین نقش کو-سورفاکتانت از خود در این تحقیق برای تولید قطرات نانومولسیون نشان نداد.

خودبه‌خودی نانومولسیون با محدود شدن فرایندهای نفوذ مولکولی به تأخیر می‌افتد (Pouton, 1997). Saberi و همکاران (۲۰۱۳) نیز بیان کردند با افزایش غلظت سورفاکتانت از حد آستانه، فاز کریستالی ویسکوزی بوجود می‌آید که شکست خودبه‌خودی دیواره روغن/آب را جهت جوانه‌زنی مشکل می‌سازد.

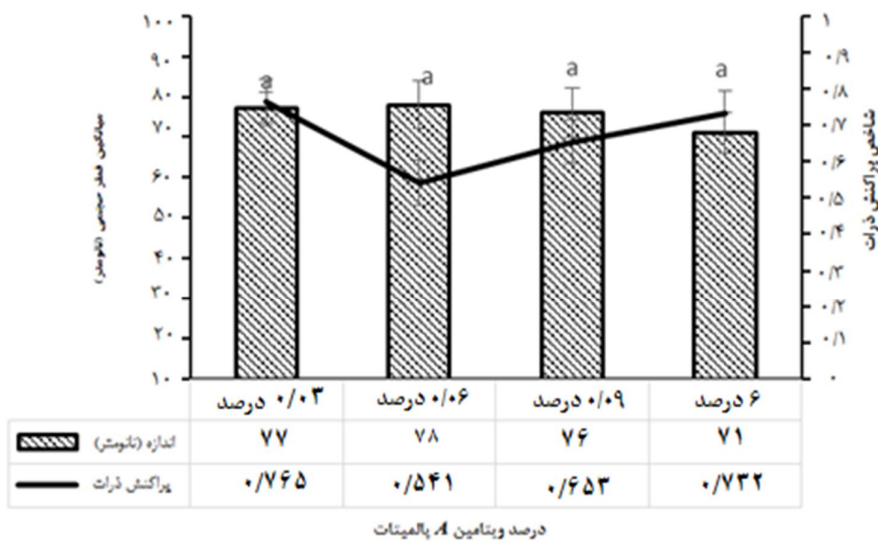
۲- با افزایش زیاد غلظت سورفاکتانت، بخشی از آنها بجای قرارگرفتن در سطح، در توده قرار می‌گیرند و میسل‌های سورفاکتانت تشکیل می‌شود که باعث افزایش فشار اسمزی محلی در سیستم می‌شود. در نتیجه فاز پیوسته بین قطرات به این مکان منتقل می‌گردد و موجب انبوهش (فلوکولاسیون) ناشی از تهی‌شدن فاز پیوسته بین دو قطره می‌گردد. (Cnibrzadeh, ۱۳۹۲) Wulff-Perez و همکاران (۲۰۰۹) نیز ناپایدارشدن نانومولسیون‌ها در بالاتر از یک غلظت سورفاکتانت را به مکانیسم تهی شدن فلوکولاسیون^۱ میسل‌های سورفاکتانت جذب شده مرتبط دانستند.

نتایج نشان داد مقادیر ۱۵ درصد SER و ۱۵۰ درصد SOR نسبت به سایر سطوح، موفق به تولید اندازه قطرات ریزتر و تکمد است، همچنین شاخص اسپن که نشان‌دهنده توزیع و پراکنش ذرات است در این فرمولاسیون بهینه به مقدار مناسب ۰/۵۴ است (جدول ۱). از این درصد به عنوان رفرنس در سایر آزمایشات مانند بررسی نوع فاز روغنی و نوع سورفاکتانت و غیره استفاده شد و سایر فرمولاسیون‌ها با این سطح (۱۵ درصد SER و ۱۵۰ درصد SOR) و با تغییر نوع سورفاکتانت یا نوع فاز روغنی یا درصد ویتامین تولید انجام شدند.

تأثیر غلظت ویتامین A پالمیتات بر اندازه و توزیع قطرات

با افزایش غلظت ویتامین A پالمیتات از بهینه از ۳ به ۶ و سپس ۹ درصد در فاز روغنی، اندازه قطره‌های نانومولسیون تولیدی با استفاده از فرمولاسیون با غلظت سورفاکتانت بهینه (۱۵ درصد SER و ۱۵۰ درصد SOR)، استفاده از میگلیویل ۸۱۲ به عنوان روغن حامل و توبین ۸۰ به عنوان سورفاکتانت غیر-یونی، در محدوده ۷۶-۷۸ نانومتر با توزیع یکنواخت و

^۱ Depletion-flocculation



شکل ۳- تأثیر غلظت ویتامین A پالمیتان بر اندازه و توزیع اندازه قطرات نانومولسیون بر پایه $SER=15\%$ ، $SOR=150\%$ ، میگلیول ۸۱۲ به عنوان روغن حامل و توبین ۸۰ به عنوان سورفاکتانت غیریونی. حروف غیرمشابه نشان‌دهنده وجود اختلاف معنی‌دار در سطح ۵ درصد آزمون دانکن است.

دارویی مجاز بوده و با توجه به اینکه مقادیر اندکی از امولسیون تولید شده (در حدود ۷۰ میکرولیتر در ۱۰۰ سی‌سی شیر یا آبمیوه) به منظور غنی‌سازی استفاده می‌شود، مصرف آن مخاطره برانگیز نمی‌باشد. مقایسه میانگین‌ها به روش دانکن در سطح ۵ درصد، بین نوع سورفاکتانت مورد استفاده از نظر اندازه قطرات تفاوت معنی‌داری را نشان داد و توبین ۸۰ ریزترین قطرات را تولید کرد. بررسی ساختار مولکولی سورفاکتانت‌ها وجود تفاوت در زنجیره آب‌گریز آنها را نشان می‌دهد (جدول ۲): توبین ۲۰ یک دم مونولورات (C₁₂)، توبین ۸۰ یک دم مونوائلات (C₁₈) و

تأثیر نوع سورفاکتانت بر اندازه و توزیع قطرات در شکل ۴ تأثیر استفاده از انواع مختلف سورفاکتانت‌های غیریونی از نوع پلی‌سوربات (توبین‌ها)، روی اندازه قطره‌های نانومولسیون‌های تهیه شده با فرمولاسیون بهینه (۱۵ درصد SER و ۱۵۰ درصد SOR، میگلیول ۸۱۲ به عنوان روغن حامل و ۰/۰۳ درصد ویتامین A پالمیتان در سیستم امولسیون) نشان داده شده است. چون روش تولید امولسیون مکانیسم تولید خودبه‌خودی (روش کم‌انرژی) و جوانه‌زنی روغن در سطح مشترک دو فاز که همراه با خروج سورفاکتانت از فاز روغنی به سمت فاز آبی است، می‌باشد بنابراین از سورفاکتانت‌های هیدرووفیل (انواع توبین) استفاده شد. این نوع سورفاکتانت‌ها از نظر

جدول ۲- خصوصیات شیمیایی و مولکولی انواع سورفاکتانت‌های مورد استفاده

سورفاکتانت غیر- یونی	فرمول مولکولی	ساختار شیمیایی	عدد HIB	وزن مولکولی (gr/mole)
توبین ۲۰	C ₆₄ H ₁₂₄ O ₂₆	پلی‌اکسی اتیلن-۲۰- سوربیتان مونولورات	۱۶/۷	۱۲۲۷/۵۱
توبین ۲۱	-	پلی‌اکسی اتیلن-۴- سوربیتان منولورات	۱۲/۳	-
توبین ۴۰	C ₆₂ H ₁₂₂ O ₂₆	پلی‌اکسی اتیلن-۲۰- سوربیتان مونوپالمیتان	۱۵/۶	۱۲۸۳/۶۲
توبین ۸۰	C ₆₄ H ₁₂₄ O ₂₆	پلی‌اکسی اتیلن-۲۰- سوربیتان مونوایلات	۱۵	۱۳۰۹/۶۵
توبین ۸۵	C ₁₀₀ H ₁₈₈ O ₂₈	پلی‌اکسی اتیلن-۲۰- سوربیتان تری اولئات	۱۱	۱۸۳۸/۵۴

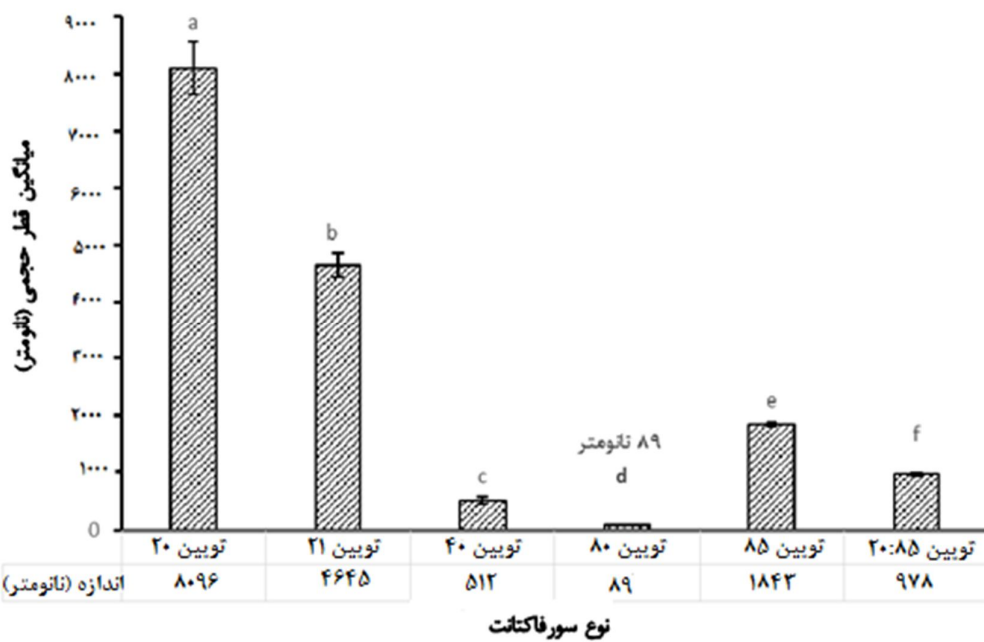
ساختار خود و HLB بالا که نشان هیدروفیل بودن آن است هم قدرت تحرک بیشتر به سمت فازآبی که در آن محلول تر است را دارد و همچنین پارامتر کیپ-شدن آن در قرارگیری در سطح مناسب است، بنابراین ریزترین قطرات را تولید نمود.

در تحقیقی مشابه، نیکنیا و همکاران (۱۳۹۲) با مقایسه دو نوع تویین ۸۰ و تویین ۲۰ طی تولید نانو-امولسیون حاوی ویتامین E استات بیان کردند که اگرچه هیدروفیل بودن سورفاکtant (به عبارت دیگر HLB بالاتر) لازمه تولید نانوامولسیون روغن در آب HLB است، ولی تویین ۲۰ که نسبت به تویین ۸۰، HLB بالاتری دارد، قادر به تولید امولسیون در غلظت‌های پایین سورفاکtant نیست. همچنین به منظور بررسی دقیق تر اثر HLB بر تولید امولسیون و قطرات کوچک، مساح و همکاران (۱۳۹۲) نیز سیستم مشابه‌ای را با استفاده از تویین ۴۰ با $HLB = \frac{15}{6}$ تهیه کردند که HLB آن تقریباً نزدیک به عدد HLB تویین ۸۰ است. اندازه قطرات تولید شده در این سیستم بالاتر از ۱ میکرومتر بوده است. به نظر می‌رسد اندازه قطرات تولیدی، تنها به مقدار عددی HLB مربوط نمی‌شود و عوامل دیگری نیز وجود دارد. در تحقیقی که توسط Li و همکاران (۲۰۱۲) بر روی تولید نانوامولسیون‌های حاوی متوكسی فلاون پوسته لیموترش با استفاده از روش هموزناسیون فشار قوی انجام شده است، گزارش شد که اندازه و توزیع ذرات، مورفولوژی و همچنین رسوب متوكسی فلاون در سیستم، به نوع روغن، نوع سورفاکtant و اضافه کردن کمکحلال در سیستم (اتانول و گلکسیرون) بستگی دارد. آنان از انواع روغنهای ذرت، تری‌گلکسیرید متوسط زنجیر و روغن پرتفال و همچنین سورفاکtant‌های بتالاکتوگلوبولین، لیزو-لستین و تویین و دودسیل تری‌متیل آمونیوم بروماید (DTAB)^۱ استفاده کردند. نتایج نشان داد با استفاده از همه انواع امولسیفایر به جز DTAB، نانوذراتی با قطر متوسط کمتر از ۱۰۰ نانومتر تولید می‌شود.

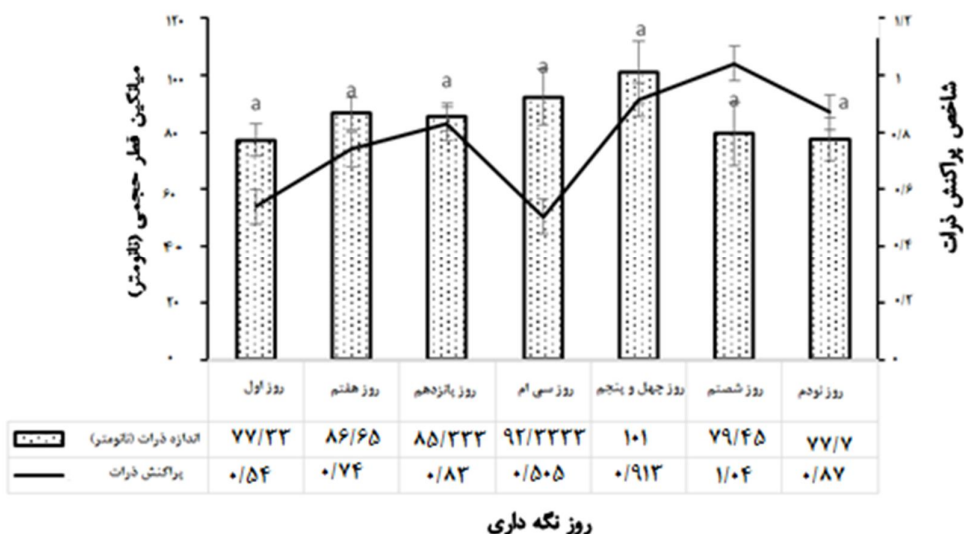
تowین ۸۵ یک دم تری‌اولنات دارد ($1 = C_{18} * 3$) دارد $HLB = ۱۵$ با Ostertag *et al.*, 2012). تowین ۸۰ با کوچک‌ترین قطرات را تولید کرد، در حالی که T_{20} با $HLB = ۱۶/۷$ (که نشان دهنده بالاتر بودن درجه هیدروفیلی آن است)، قطرات درشت‌تری تولید کرد. تحرک بیشتر سورفاکtant‌های غیراشباع نسبت به انواع اشباع می‌تواند علت این رفتار باشد که سبب تسهیل تشکیل خودبه‌خودی امولسیون می‌شود. در ساختار زنجیره آب‌گریز تویین ۸۰ پیوند دوگانه از استراولئات وجود دارد که سبب تحرک بیشتر آن نسبت به تویین‌هایی با زنجیره اشباع مانند تویین ۲۰ می‌شود. تویین‌هایی با وزن مولکولی بالا (مانند تویین ۸۵) نیز که سرعت حرکت سورفاکtant از فازآلی به آبی را کاهش می‌دهند، خاصیت امولسیفایری ضعیفی از خود نشان می‌دهند (Wakerly *et al.*, 1986). در این تحقیق از سورفاکtant‌هایی با ساختار مشابه (تویین‌های ۲۰ و ۲۱) و یا HLB تقریباً مشابه (تویین‌های ۴۰ و ۸۰) استفاده شد که نتایج اختلاف معنی‌دار در اندازه قطرات هر یک را نشان داد. به منظور بررسی دقیق تر اثر HLB بر تولید امولسیون و قطرات کوچک مطالعات قبلی (نیکنیا و همکاران، ۱۳۹۲؛ مساح، ۱۳۹۲) نشان داد اندازه قطرات تولیدی، تنها به مقدار عددی HLB مربوط نمی‌شود و عوامل دیگری نیز وجود دارد. صابری و همکاران (۲۰۱۳) پس از رد فرضیه اثر HLB روی اندازه قطرات، پارامتر کیپ-شدن^۱ مربوط به هندسه مولکولی سورفاکtant (سطح مقطع زنجیره آب‌گریز (دم سورفاکtant) نسبت به سطح مقطع سر آب‌دوست سورفاکtant) را به عنوان عامل اصلی در تعیین عملکرد سیستم‌های کلوپیدی بیان کردند. تفاوت در گروه زنجیره و سر تویین‌ها، بر نحوه قرارگیری آنها در سطح آب-rogue مؤثر است و در نتیجه بر روی تشکیل قطرات خیلی ریز، وقتی که فاز-آلی با فازآبی مخلوط می‌شود، اثر دارد که در صورت مناسب بودن پارامتر کیپ-شدن، انحنای مطلوب از سورفاکtant بدست می‌آید. این انحنای مطلوب بر پارامترهایی از قبیل کشش بین‌سطحی و رئولوژی اثر-گذار است. تویین ۸۰ با دارابودن بند دوگانه در

^۱ Dodecyl Trimethyl Ammonium Bromide

^۱ Packing factor



شکل ۴- تأثیر نوع سورفاکтан‌ت غیربیونی بر اندازه قطرات نانومولسیون بهینه (۱۵ درصد SER و ۱۵۰ درصد SOR، میگلیول ۸۱۲ به عنوان رogen حامل و غلظت ۰/۰۳ درصد ویتامین A پالمیتان). حروف غیرمشابه نشان‌دهنده وجود اختلاف معنی‌دار در سطح ۵ درصد آزمون دان肯 است.



شکل ۵- پایداری نانومولسیون بهینه (۱۵ درصد SER و ۱۵۰ درصد SOR، میگلیول ۸۱۲ به عنوان رogen حامل و توین ۸۰ به عنوان سورفاکtant غیربیونی) در طی مدت سه ماه. حروف مشابه نشان‌دهنده عدم وجود اختلاف معنی‌دار در سطح ۵٪ آزمون دان肯 است.

فیزیکوشیمیایی آنها دارند. ثابت‌ماندن این دو پارامتر در طول یک دوره زمانی طولانی، نشان‌دهنده پایداری سیستم است. ذرات بزرگ‌تر از یک میکرومتر و کاهش

بررسی پایداری نانومولسیون بهینه اندازه قطرات و توزیع اندازه آنها (پلی‌دیسپرسیتی) سیستم‌های کلوبیدی اهمیت ویژه‌ای در ویژگی‌های

است. در تهیه امولسیون‌های مشتقات ویتامین A، انتخاب نوع روغن مورد استفاده بسیار مهم می‌باشد چون پایداری اکسیداتیو رتینوئید درون پوشانی شده در آن تحت تأثیر خصوصیات فیزیکی (ضخامت لایه بین‌سطحی، اندازه و شکل قطرات فاز پراکنده) و خصوصیات شیمیایی (میزان غیراشباعیت، طول زنجیره و حضور آنتی‌اکسیدان‌ها) قرار می‌گیرد (Fathi et al., 2012). بنابراین در این تحقیق، در تهیه نانو-امولسیون حاوی ویتامین A پالمیتات از انواع روغن‌های حامل ویتامین A استفاده شد. همان‌طور که در شکل ۶ مشخص است، در تمامی نمونه‌ها بین حامل-های روغنی مختلف از نظر اندازه قطرات در سطح ۵ درصد اختلاف معنی‌داری وجود دارد و استفاده از میگلیول ۸۱۲ به عنوان روغن حامل در مقایسه با سایر فازهای روغن آزمایشی موجب کاهش معنی‌داری در اندازه قطره‌های نانوامولسیون شد.

میگلیول یک مارک تجاری برای بخش‌های تقطیر شده گوناگون از روغن نارگیل است. میگلیول ۸۱۲ مایع بی‌رنگ مایل به زرد روشن، متشكل از ۵۵ درصد تری‌گلیسیرید با اسید چرب ۸ کربنی و ۴۵ درصد تری‌گلیسیرید با اسید چرب ۱۰ کربنی است. چگالی و گرانروی این روغن در دمای ۲۰ درجه سانتی‌گراد، به ترتیب ۹۵ گرم بر سانتی‌متر مکعب و ۳۰ میلی‌پاسکال بر ثانیه است. با توجه به این‌بودن روغن میگلیول ۸۱۲ و هم‌چنین اکتیل‌اکتانیت از نظر FDA، می‌توان آنها را مستقیماً به انواع مختلف مواد غذایی از جمله نوشیدنی‌ها اضافه کرد.

گرانروی روغن بر سرعت حرکت مولکول‌های سورفاکтанت غیریونی، از فاز‌آلی به فاز‌آبی، مؤثر است و می‌توان انتظار داشت با کاهش گرانروی روغن، مولکول‌های سورفاکتانت سریع‌تر حرکت کرده و بنابراین، قطرات کوچک‌تر تولید شود. البته بعضی محققان دیگر نیز گزارش کرده‌اند با استفاده از روغن‌های با گرانروی بالاتر قطرات کوچک‌تر تشکیل می‌شود (Bouchemal et al., 2004). هم‌چنین کاهش کشش بین‌سطحی باعث تحرک بیشتر بین سطح شده و تشکیل قطرات ریز متحمل‌تر می‌شود؛ علاوه بر این کشش بین‌سطحی تخریب قطرات نانوامولسیون را تحت تأثیر قرار می‌دهد (Yang & McClements,

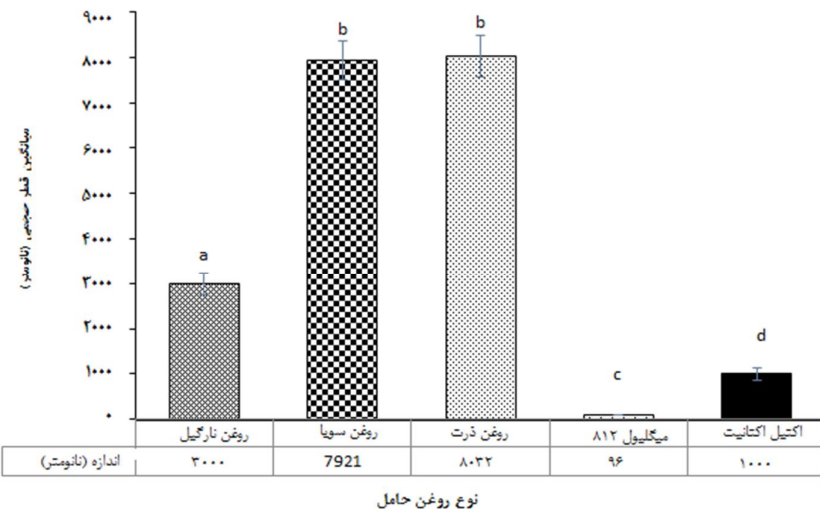
در تعداد ذرات در طول زمان می‌تواند نشانگر ناپایداری فیزیکی باشد (Benoit, 1986). نتایج بررسی پایداری بلندمدت نانوامولسیون بهینه تولید شده با اندازه‌گیری تغییرات در اندازه قطره‌های آن و هم‌چنین ظاهر نمونه‌ها (مشاهده دو فاز شدن) در طی نگهداری در دمای آزمایشگاه (تقریباً ۲۵ درجه سانتی‌گراد) طی مدت ۳ ماه، تغییر معنی‌داری را در سطح ۵ درصد بین روزهای نگهداری نشان نداد و توزیع قطرات برای تمامی نمونه‌ها یکنواخت و تکمد بود (شکل ۵). به علت حضور قطرات در اندازه نانومتری در نانوامولسیون‌ها، آنها نسبت به امولسیون‌های متداول (ماکروامولسیون‌ها) دارای پایداری بیشتری هستند. چون کاهش اندازه قطرات اولاً موجب غلبه حرکت براواني بر نیروی گرانشی می‌شود و ثانیاً موجب افزایش گرانروی می‌گردد و در نتیجه از دو مکانیسم ناپایدارکننده‌گی مهم یعنی تفکیک گرانشی و انبوهش (فلاکولاسیون) جلوگیری می‌شود. به طور کلی زیر اندازه‌های ۳۰۰ نانومتری، سرعت تفکیک گرانشی به شدت کاهش می‌یابد.

تأثیر نوع فاز روغنی حامل روی اندازه قطرات

در تولید نانوامولسیون‌ها می‌توان از ترکیبات غیرقطبی مختلف از جمله تری‌آسیل گلیسرول‌ها، دی‌آسیل گلیسرول‌ها، مونوآسیل گلیسرول‌ها، روغن‌های انسانی، روغن‌هایمعدنی، واکس‌ها و ویتامین‌های محلول در چربی مانند کاروتونوئیدها، فیتواسترول و فیتواستانول‌ها به عنوان فاز روغنی استفاده کرد. در کاربردهای غذایی معمولاً از تری‌آسیل گلیسرول‌ها مانند روغن ذرت، سویا، آفتابگردان، زیتون، بذر کتان و روغن ماهی استفاده می‌شود. زیرا هم از لحاظ اقتصادی مقرن به صرفه‌اند و هم به فراوانی یافت می‌شوند (مساح، ۱۳۹۲). نوع فاز روغنی مورد استفاده در تولید نانوامولسیون‌ها بر گرانروی، چگالی و کشش‌سطحی سیستم تأثیرگذار است. ویتامین A پالمیتات یک سیال روغنی با گرانروی بالا است که تولید نانو-امولسیون به تنهایی با آن به دلایل مختلف از جمله ویسکوزیته بالای آن مشکل است. از طرفی هم داشتن یک سطح بالا از ویتامین A پالمیتات در سیستم نانو-امولسیون با توجه به نیاز روزانه بدن به آن، نادرست

خالص است (Saberi *et al.*, 2013). خصوصیات فاز روغن (مانند نوع روغن)، نوع فازآبی (مانند حضور نمک و الکل) و نیز فاکتورهای محیطی (مانند دما) بر روی تمایل نسیی مولکول‌های سورفاکtant به فاز روغن و آب تأثیرگذار است (Rao & McClements, 2012).

در تولید سیستم نانومولسیون با استفاده از مخلوط اسید استئاریک و اسید اولئیک نیزگزارش شد با افزایش میزان اسید اولئیک ذرات نرم‌تر با خاصیت کریستالی کمتری حاصل می‌شود (Hu *et al.*, 2005). در برخی از پژوهش‌های صورت گرفته، هیچ همبستگی بین قطر متوسط قطرات تولید شده و ویژگی‌های فاز روغن وجود ندارد. خواص مخلوط‌های سورفاکtant-روغن-آب مهم‌تر از ویژگی‌های روغن



شکل ۶- تأثیر نوع فاز روغنی حامل روی اندازه قطره‌های نانومولسیون ویتامین A پالمیتان بهینه (۱۵ درصد SER و ۱۵۰ درصد SOR، توابع ۸۰ به عنوان سورفاکtant غیربرونی و غلظت ۰/۰۳ درصد ویتامین A پالمیتان). حروف غیرمشابه نشان‌دهنده وجود اختلاف معنی‌دار در سطح ۵ درصد آزمون دانکن است.

از سورفاکtant غیربرونی توابع ۸۰ و فاز روغنی حامل میگلیول ۸۱۲، اندازه قطرات کاهش یافت اما پس از آن با افزایش غلظت سورفاکtant افزایش در میانگین قطر قطرات مشاهده شد. نانومولسیون بهینه تولید شده در طی ماندگاری به مدت ۳ ماه از پایداری بالا برخوردار بود. بنابراین فاکتورهای مربوط به فرمولاسیون شامل نوع و غلظت سورفاکtant و نوع حامل روغنی در تولید نانومولسیون ویتامین A نقش بسیار مهمی را دارا هستند.

نتیجه‌گیری

نوع سورفاکtant و فاز روغنی حامل تأثیر زیادی بر تولید نانومولسیون دارد بهطوری‌که از بین سورفاکtant‌های غیربرونی و انواع فاز روغنی، با استفاده از توابع ۸۰ و میگلیول ۸۱۲ به عنوان سورفاکtant و روغن حامل، قطراتی با کوچکترین اندازه تولید شد. اندازه قطرات همچنین تحت تأثیر غلظت سورفاکtant است و مقداری بهینه‌ای وجود دارد بهطوری‌که در ابتدا با افزایش غلظت سورفاکtant تا ۱۵ درصد SER و ۱۵۰ درصد SOR، در نانومولسیون تولیدی با استفاده

منابع

- ۱- قنبرزاده، ب.، ۱۳۹۲. شیمی و فیزیک سیستم‌های کلوئیدی و محلول‌های بیopolymerی غذایی. مؤسسه انتشارات علمی دانشگاه صنعتی شریف. صفحات ۲۰-۴۰.
- ۲- مساح، م.، ۱۳۹۲. بررسی ویژگی‌های کلوئیدی نانومولسیون‌های حاوی آلفا-کوفرول تولید شده با استفاده از روش کم انرژی بر پایه سورفاکtant. پایان‌نامه کارشناسی ارشد، دانشکده کشاورزی، دانشگاه تبریز.
- ۳- نیک‌نیا، ن.، قنبرزاده، ب.، همیشه‌کار، ح.، رضایی مکرم، ر.، ۱۳۹۲. تهیه و ارزیابی نانومولسیون‌های خوارکی ویتامین E. با روش خودبه‌خودی. مجله علوم تغذیه و صنایع غذایی ایران. ۸ (۴): ۶۵-۵۱.
- 4- Anton, N., & Vandamme, T. 2009. The universality of low-energy nano-emulsification. International Journal Pharmaceutical, 377: 142-147.
- 5- Benoit, J.P., Couvreur, P., Devissaguet, J.P., Fessi, H., Puisieux, F., & Roblot-Treupel L. (1986). Les formes vectorielles ou "a distribution modulée, nouveaux systèmes d'administration des médicaments. Journal Pharmaceutical Belgian, 41: 319-29.
- 6- Bouchemal, K., Brianc, S., & Fessi, H. 2004. Nano-emulsion formulation using spontaneous emulsification: Solvent, oil and surfactant optimisation. International Journal of Pharmaceutics, 280 (1-2): 241-251.
- 7- Carlotti, M. E., Sapino, S., Trotta, M., Battaglia, L., Vione, D., & Pelizzetti, E. 2005. Photostability and stability over time of retinyl palmitate in an O/W emulsion and in SLN introduced in the emulsion. Journal of Dispersion Science and Technology, 26 (2): 125-138.
- 8- De Vost, P., Faas, M.M., Spasojevic, M. & Sikkema, J. 2010. Encapsulation for preservation of functionality and targeted delivery of bioactive food components. International Dairy Journal. 20 (4): 292-302.
- 9- Fathi, M., Mozafari, M.R., & Mohebbi, M. 2012. Nanoencapsulation of food ingredients using lipid based delivery systems. Trends in Food Science and Technology, 23: 13-27.
- 10- Hamishehkar H., Emami J., Rouholamini Najafabadi A., Gilani K., Minaiyan M., Mahdavi H., & Nokhodchi A. 2009. The effect of formulation variables on the characteristics of insulin-loaded poly (lactic-co-glycolic acid) microspheres prepared by a single phase oil in oil solvent evaporation method. Colloid Surface B, 74: 340-349.
- 11- Horn, D., & Rieger, J. 2001. Organic nanoparticles in the aqueous phase-theory, experiment, and use. Angewandte Chemie International Edition, 40: 4330-4361.
- 12- Hu, F. Q., Jiang, S. P., Du, Y. Z., Yuan, H., Ye, Y. Q., & Zeng, S. 2005. Preparation and characterization of stearic acid nanostructured lipid carriers by solvent diffusion method in an aqueous system. Colloids and Surfaces B: Biointerfaces, 45 (3-4): 167-173.
- 13- Jafari, S.M., Assadpoor, E., & Bhandari, B. 2008. Re-coalescence of emulsion droplets during high-energy emulsification. Food Hydrocolloids, 22 (7): 1191-1202.
- 14- Komaiko, J., & McClements, D.J. 2014. Optimization of isothermal low-energy nanoemulsion formation: Hydrocarbon oil, non-ionic surfactant, and water systems. Journal of Colloid and Interface Science, 425: 59-66.
- 15- Lee, S., & D.J., McClements. 2010. Fabrication of protein- stabilized nanoemulsions using a combined homogenization and amphiphilic solvent dissolution/evaporation approach. Food Hydrocolloids, 24: 560-569.
- 16- Li, Y., Zheng, J., & McClements, D.J. 2012. Nanoemulsion-based delivery systems for poorly water-soluble bioactive compounds: Influence of formulation parameters on poly methoxy flavone crystallization. Food Hydrocolloids, 27: 517-528.
- 17- Ostertag, T., Weiss, J., & McClements, D.J. 2012. Low-energy formation of edible nanoemulsions: Factors influencing droplet size produced by emulsion phase inversion. Journal of Colloid and Interface Science, 388 (1): 95-102.
- 18- Pardo, G.D., & McClements, D.J. 2014. Resveratrol encapsulation: designing delivery systems to overcome solubility, stability and bioavailability issues. Trends in Food Science & Technology, 38 (2): 88-103.
- 19- Piorkowski, D.T., & McClements, D.J. 2014. Beverage emulsions: Recent developments in formulation, production, and applications. Food Hydrocolloids, 42 (1): 5-41.

- 20- Pouton, C. W. 1997. Formulation of self-emulsifying drug delivery systems. *Advanced Drug Delivery Reviews*, 25: 47-5.
- 21- Rao, R., & McClements, D.J. 2012. Food-grade microemulsions and nanoemulsions: Role of oil phase composition on formation and stability. *Food Hydrocolloids*, 29: 326-334.
- 22- Saberi, A.M., Fang, Y., & McClements, D.J. 2013. Fabrication of vitamin E-enriched nanoemulsions: Factors affecting particle size using spontaneous emulsification. *Journal of Colloid and Interface Science*, 391: 95–102.
- 23- Sagalowicz, L., & Leser, M. 2010. Delivery systems for liquid food products. *Current Opinion in Colloid & Interface Science*, 15 (1-2): 61-72.
- 24- Silva, H.D., Cerqueira, M.A., & Vicente. 2011. Nanoemulsions for food applications: development and characterization. *Food Bioprocess Technology*, 5: 854- 867.
- 25- Sood, S., & Gowthamarajan, K.J.K. 2014. Optimization of curcumin nanoemulsion for intranasal delivery using design of experiment and its toxicity assessment. *Colloids and Surfaces B: Biointerfaces*, 113: 330– 337.
- 26- Wakerly, M.W., Pouton, C.W., Meakin, B.J., & Morton, F.S. 1986. Self-emulsification of vegetable oil-non-ionic surfactant mixtures. Scamehron, J.F. *Phenomena in mixed surfacyan systems*. ACS Publications. pp. 242-255.
- 27- Wulff-Perez, A., Torcello-Gomez, M.J., & Rodriguez, M. 2009. Stability of emulsions for parenteral feeding: Preparation and characterization of o/w nanoemulsions with natural oils and Pluronic f68 as surfactant. *Food Hydrocolloids*, 23: 1096–1102.
- 28- Yang, Y., & McClements, D.J. 2013. Encapsulation of vitamin E in edible emulsions fabricated using a natural surfactant. *Food Hydrocolloids*, 30: 712-720.
- 29- Yang, Y., Marshal-Breton, C.H., Leser, M.E., Sher, A.A., & McClements, D.J., 2012. Fabrication of ultrafine edible emulsions: comparison of high-energy and low-energy homogenization methods. *Food Hydrocolloids*, 29: 398- 406.

Vitamin A palmitate-loaded nanoemulsions produced by spontaneous emulsification method: effect of surfactant and oil on droplet size and stability

Akram Pezeshky¹, Babak Ghanbarzadeh^{2*}, Hamed Hamishehkar³, Mohammad Moghadam⁴, Isa Fathollahi⁵

1- Assistant Professor, Department of Food Science and Technology, Faculty of Agriculture, University of Tabriz, Tabriz, Iran

2- Professor, Department of Food Science and Technology, Faculty of Agriculture, University of Tabriz, Tabriz, Iran

*Corresponding author (ghanbarzadeh@tabrizu.ac.ir)

3- Associated Professor, Drug Applied Research Center, Tabriz University of Medical Sciences, Tabriz, Iran

4- Professor, Department of Crop Production and Plant breeding, Faculty of Agriculture, University of Tabriz, Tabriz, Iran

5- MSc. Graduated Student, Department of Food Science and Technology, Faculty of Agriculture, University of Tabriz, Tabriz, Iran

Abstract

Spontaneous emulsification is one of the low energy methods in preparation of oil-in-water nanoemulsions. It relies on the formation of very fine oil droplets when an oil/hydrophilic surfactant mixture is added to water and is used as delivery system to encapsulate lipophilic nutraceutical components such as fat soluble vitamins in functional food. In this study the influence of various types of surfactants (tween 20, 21, 40, 80, 85 and 1:1 ratio of tween 20:85), carrier oils (coconut, soyabean & corn oil, octyl octanoate, migliol 812) and different concentration of surfactant and oils in the system (SER & SOR) on the droplet size and stability of vitamin A palmitate-loaded nanoemulsions prepared by spontaneous emulsification was investigated. Tween 80 (surfactant) nanoemulsion containing migliol 812 (carrier oil containing 3% vitamin A palmitate) with surfactant-to-emulsion ratio (SER= %15) and surfactant to oil ratio (SOR=150%), was determined as optimum sample with monomodal droplet size of 76 nm which was stable at 25 °C for 3 months.

Keywords: Migliol 812, Nanoemulsion, Non-ionic surfactant, Stability, Vitamin A palmitate